

7. Anexos

RAM TFG-1bis.1.fid
 factur a TFGQO
 RAM-TFG-1bis
 1h_sw0pt CDCl3 (C:\Bruker\Bios) Bruker 13

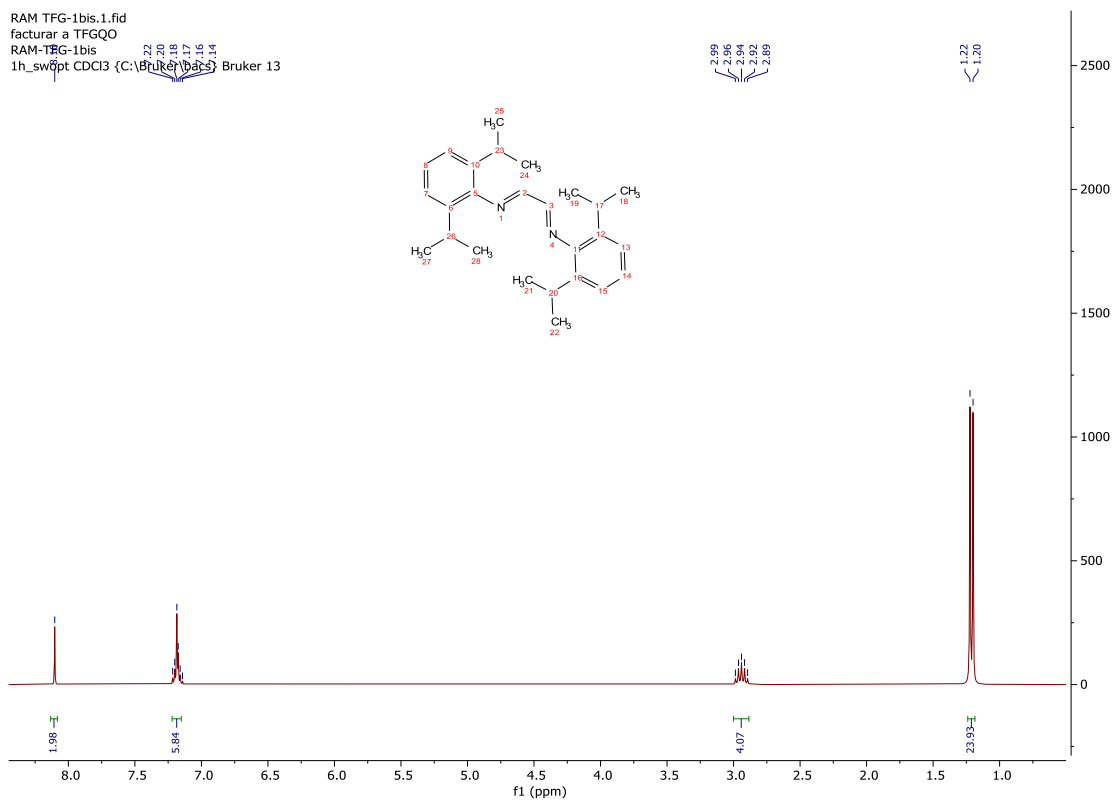


Figura S1: espectro de ^1H RMN de la *N,N'*-bis(2,6-diisopropilfenil)etanodiimina

RAM TFG-1.2.fid
 C13 CPD AV300

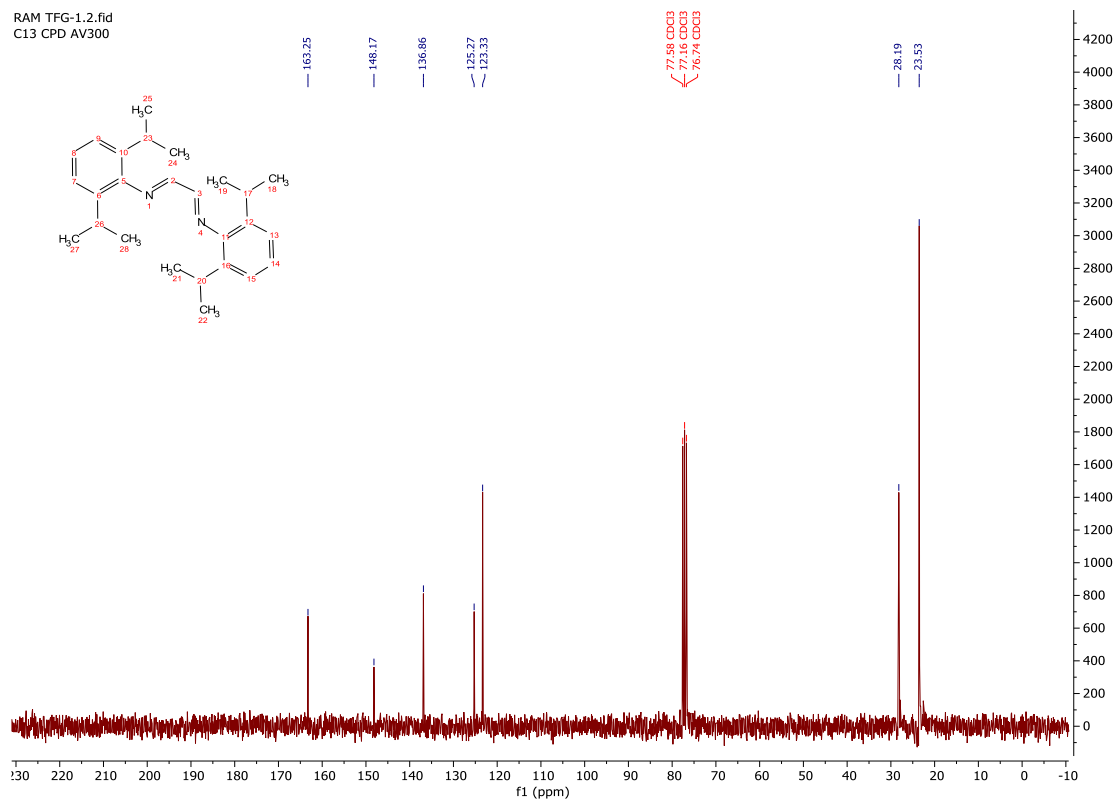


Figura S1: espectro de ^{13}C RMN de la *N,N'*-bis(2,6-diisopropilfenil)etanodiimina

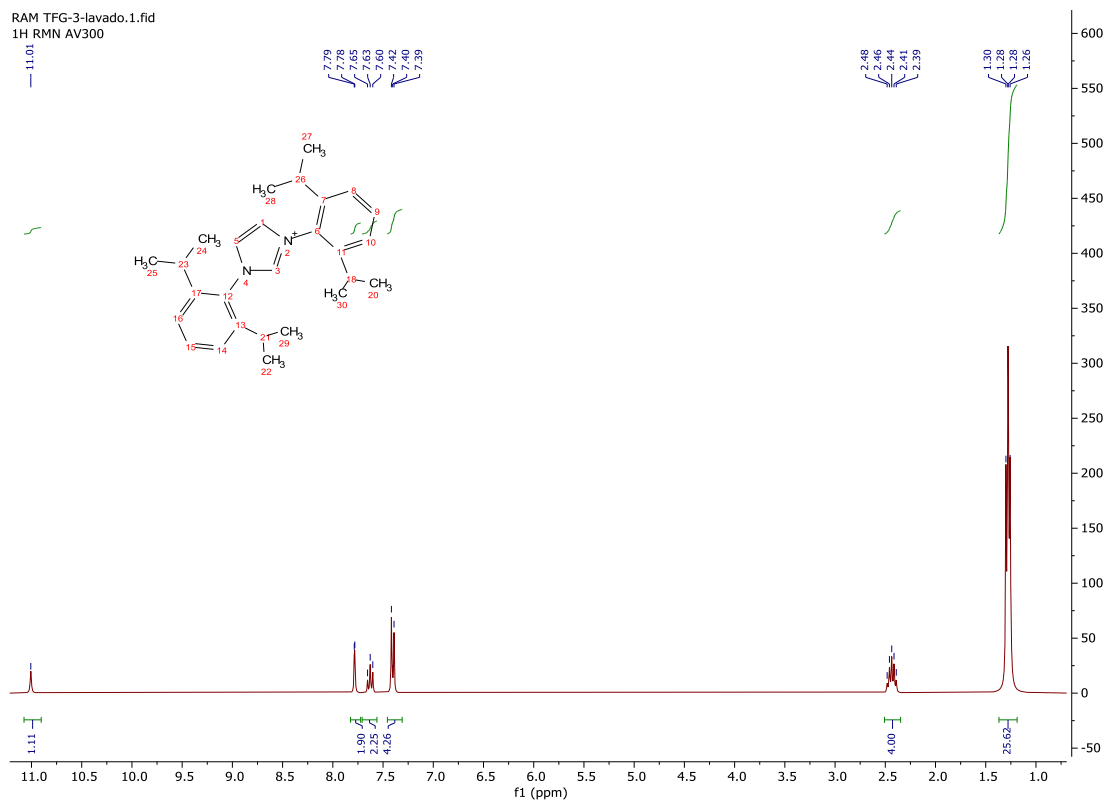


Figura S2: espectro de ^1H RMN del cloruro del 1,3-bis(2,6-diisopropilfenil) imidazolio

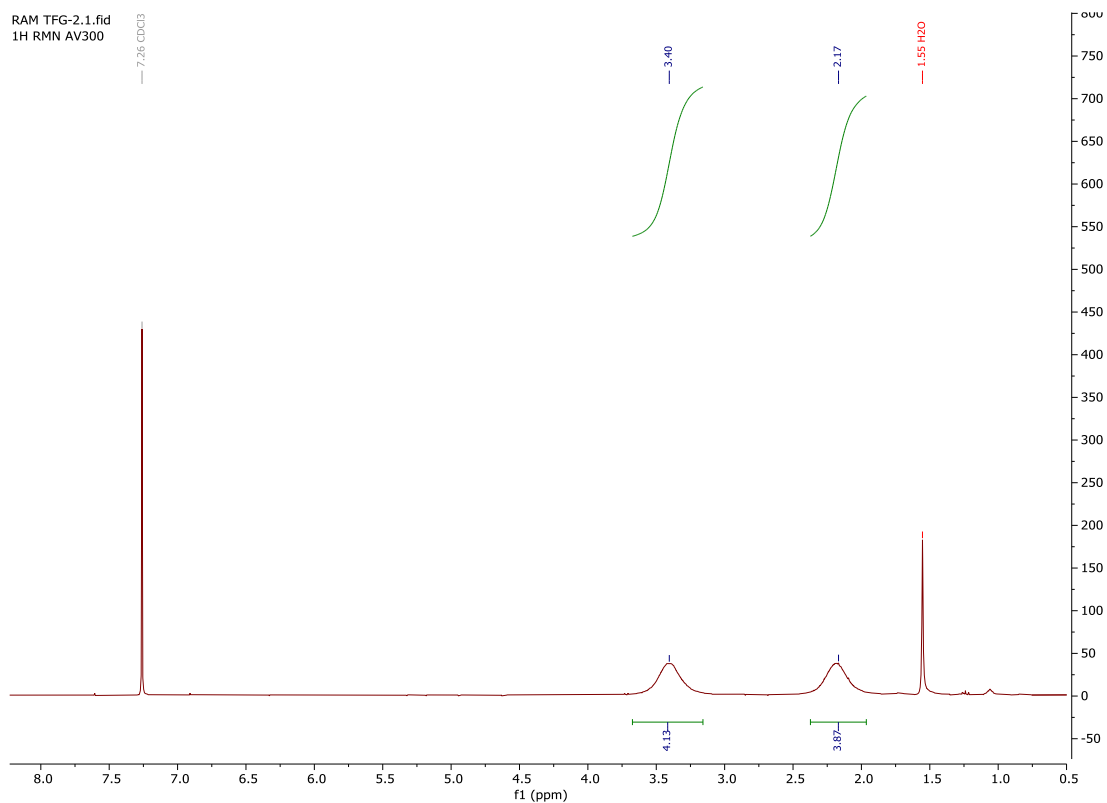


Figura S3: espectro de ^1H RMN del cloro(tetrahidrotiéfeno)ro(I)

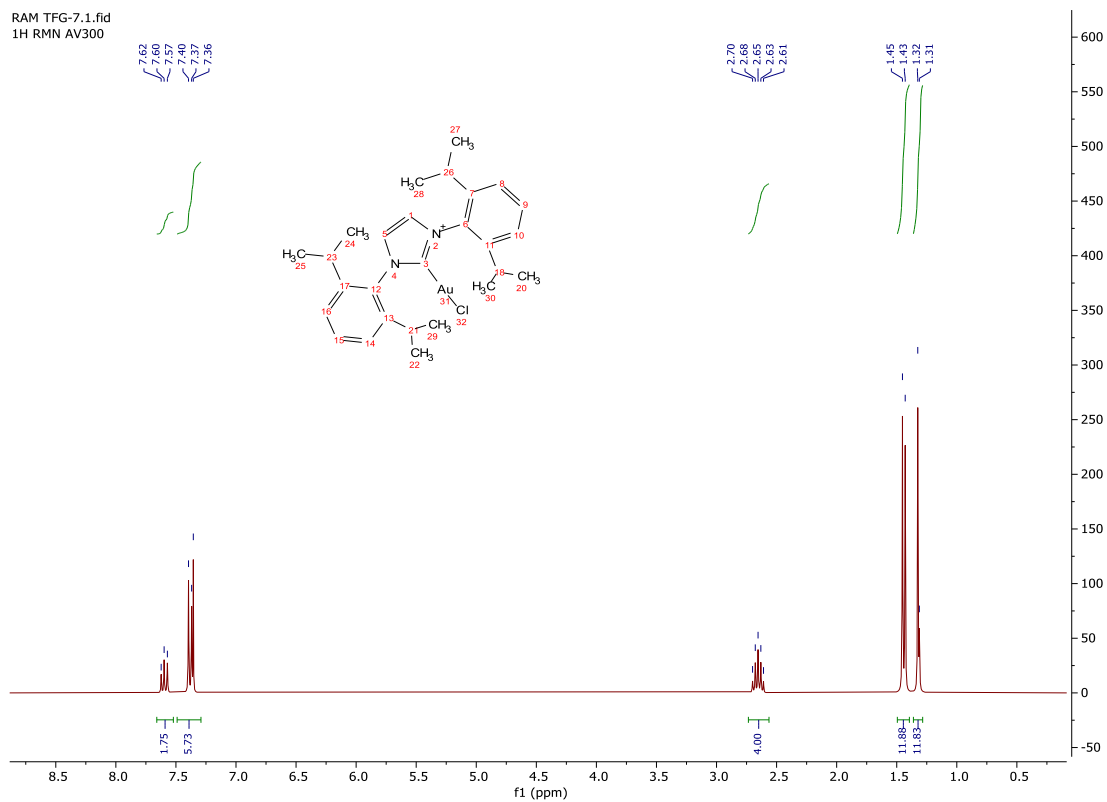


Figura S4: espectro de ^1H RMN del cloruro de [1,3-bis(2,6-diisopropilfenil-imidazol-2-iliden]oro(I)

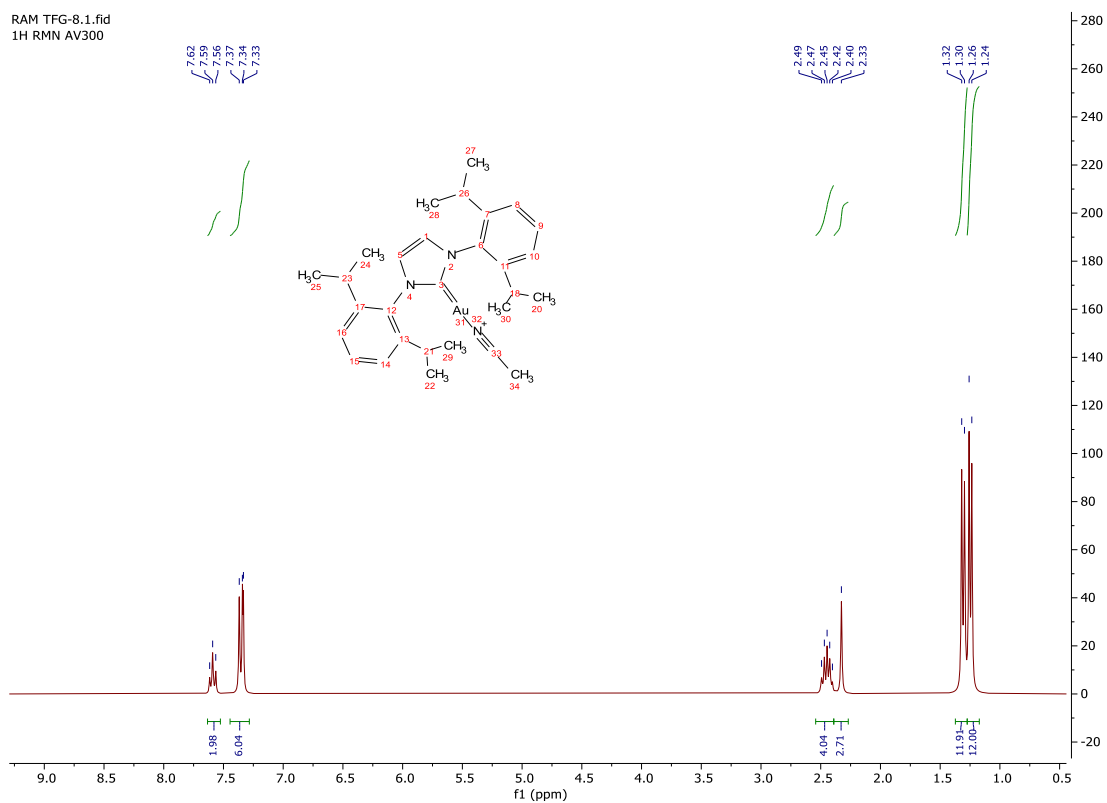


Figura S5: espectro de ^1H RMN del acetonitrilo[1,3-bis(2,6-diisopropilfenil-imidazol-2-iliden]oro(I)

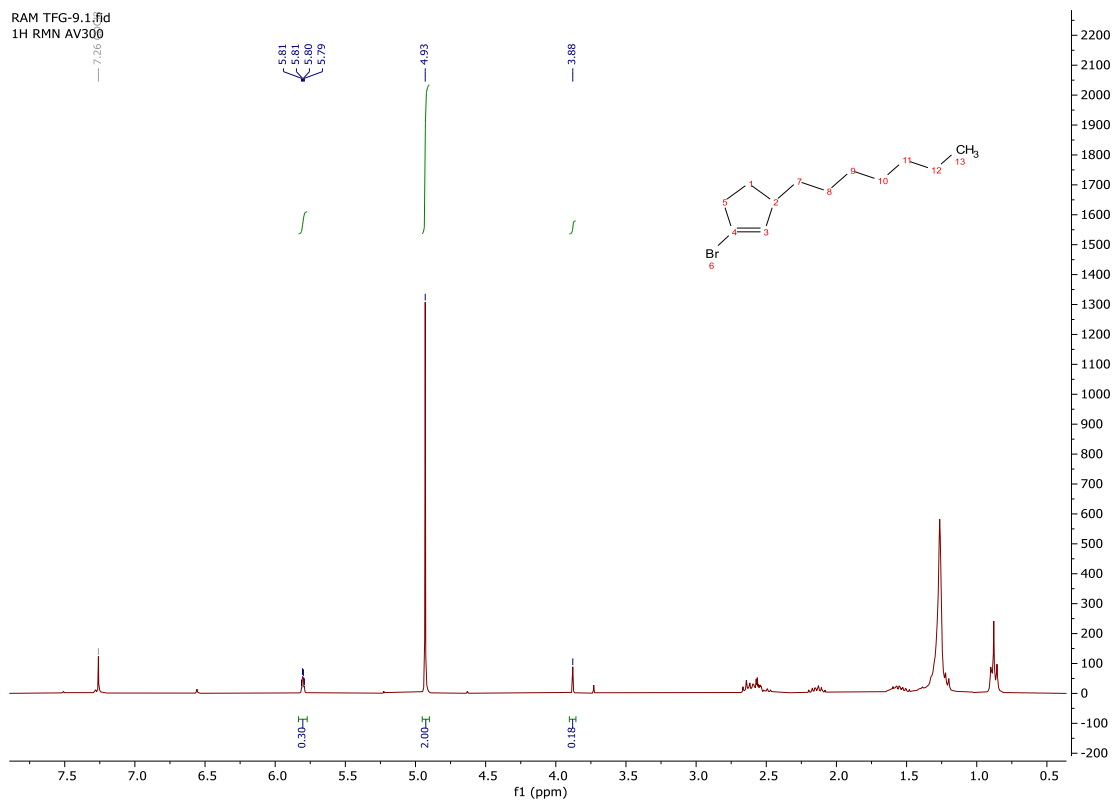


Figura S6: espectro de ¹H RMN del crudo de reacción de la cicloisomerización del 1-bromododec-1-ino en presencia del catalizador **29**